

## ФУНКЦИИ ГРИНА И ВЕРОЯТНОСТИ ПЕРЕХОДОВ В НЕЧЕТНЫХ ЯДРАХ

С. Т. БЕЛИЯЕВ, В. Г. ЗЕЛЕВИНСКИЙ

(Поступила в редакцию 22 февраля 1965 г.)

Получены выражения для различных функций Грина нечетных ядер, справедливые для возбуждений как одночастичной, так и коллективной природы. Получены также вероятности переходов и средние значения физических величин для произвольных низколежащих состояний нечетных ядер.

Ядро с нечетным числом нуклонов представляет собой ферми-систему, основное состояние которой вырождено (по проекции полного спина). Как известно, в этом случае применение метода функций Грина сопряжено с определенными трудностями. В макроскопических системах влиянием одной нечетной частицы, естественно, можно пренебречь. В ядрах же именно нечетный нуклон определяет низколежащие возбуждения, не связанные с разрывом куперовских пар в четном осте. Энергии этих возбуждений даются полюсами одночастичной функции Грина соседнего четного ядра, но для определения матрицы плотности и вероятностей переходов необходимо иметь функции Грина самого нечетного ядра.

Одночастичные функции Грина для нечетных ядер рассматривались в нескольких работах [1, 2], но результаты этих работ применимы лишь в том случае, когда уровни нечетного ядра являются строго одночастичными, т. е. фактически для нескольких околомагнитических ядер. В настоящей работе получены выражения для различных функций Грина нечетных ядер, которые позволяют вычислять ядерные характеристики для состояний как одночастичной, так и коллективной природы. Метод состоит в переходе от усреднения по основному состоянию нечетного ядра к усреднению по состоянию соседнего четного ядра. Это позволяет снять неопределенность, связанную с вырождением основного состояния.

Рассмотрим общее выражение для двухвременной функции Грина нечетного ядра

$$\mathcal{G}_{\lambda_0}(1; 2) = -i(\Phi_{\lambda_0}, TA(1)B(2)\Phi_{\lambda_0}) \equiv -i\langle TA(1)B(2) \rangle_{\lambda_0}, \quad (1)$$

где  $A$  и  $B$  — некоторые операторы (для одночастичной функции — фермиевские операторы нуклонов, для двухчастичной — произведения двух таких операторов и т. д.). Усреднение в (1) проводится по некоторому состоянию нечетного ядра  $\Phi_{\lambda_0}$ , которое описывается, в частности, полным спином ядра  $J_{\lambda_0}$  и его проекцией  $M_{\lambda_0}$ . Состояние  $\Phi_{\lambda_0}$  вырождено по  $M_{\lambda_0}$  и поэтому в принципе следует рассматривать также недиагональные по  $M_{\lambda_0}$  функции Грина. Для простоты мы рассматриваем лишь диагональные средние, имея в виду, что зависимость от проекций полного момента может быть однозначно восстановлена в силу теоремы Вигнера — Эккарта.

Состояние  $\Phi_{\lambda_0}$  не обязательно является основным. Мы предполагаем только, что оно может быть получено из основного состояния четного ядра  $\Phi_0$  действием некоторого однонуклонного оператора рождения. Вве-

дем обобщенные «спинорные» операторы нуклонов [3]

$$\Psi(v) = \begin{pmatrix} a_v \\ ia_{\tilde{v}}^+ \end{pmatrix}, \quad \Psi^+(v) = (a_v^+, -ia_{\tilde{v}}), \quad (2)$$

где одночастичные состояния  $v, \tilde{v}$   $\sim$  переходят друг в друга при отражении времени (аргумент спинорного оператора относится сразу к паре состояний). Тогда наше предположение о состоянии  $\Phi_{\lambda_0}$  можно записать в виде следующего условия:

$$u_{\lambda_0}^+(v_0) \equiv (\Phi_{\lambda_0}, \Psi^+(v_0) \Phi_0) \neq 0 \quad (3)$$

хотя бы для одного одночастичного состояния  $v_0$ . (Величина  $u_{\lambda}^+(v)$  является двухкомпонентной строкой.)

Подчеркнем, что предположение (3) отнюдь не означает, что состояние  $\Phi_{\lambda_0}$  является одночастичным. Квантовые числа  $\lambda_0$  и  $v_0$  включают момент и его проекцию, следовательно, в (3)  $j_{v_0} = J_{\lambda_0}$ . Но если момент не полностью характеризует состояние нуклона, то (3) может выполняться для нескольких однонуклонных состояний  $v$ . И, наоборот, данный однонуклонный оператор  $\Psi^+(v_0)$  может порождать различные состояния нечетного ядра  $\Phi_{\lambda}$ . Например, в случае связи нечетного нуклона с колективными возбуждениями четного остова (фононами) существует целый набор возбужденных состояний, отличающихся только средним числом фононов. Для всех этих состояний условие (3) будет выполняться одновременно [4].

Если состояние  $\Phi_{\lambda_0}$  является строго одночастичным, то квантовые числа  $\lambda_0$  и  $v_0$  совпадают, и неравенство (3) выполняется только для одного состояния  $\Phi_{\lambda_0}$ . Тогда величина  $u_{\lambda}^+(v)$  выражается через коэффициенты  $(u, v)$ -преобразования:  $u_{\lambda}^+(v) = \delta_{\lambda v}(u_v, iv_v)$ . Именно этот случай рассматривался в работах [1, 2].

Поставим теперь задачу выразить функцию Грина (1) через функции Грина четного ядра. Введем с этой целью в четном ядре вспомогательную функцию

$$\mathcal{L}_{v_0}(12; 34) = -i \langle T A(1) B(2) \Psi(v_0, t_3) \Psi^+(v_0, t_4) \rangle. \quad (4)$$

Зафиксируем порядок времен  $t_3 > t_1, t_2 > t_4$  и представим (4) в виде

$$\begin{aligned} \mathcal{L}_{v_0}(12; 34) = -i \sum_{\lambda \lambda'} & (\Phi_0, \Psi(v_0) \Phi_{\lambda}) \exp(-iE_{\lambda} t_3) (\Phi_{\lambda'}, TA(1) B(2) \Phi_{\lambda'}) \times \\ & \times \exp(iE_{\lambda'} t_4) (\Phi_{\lambda'} \Psi^+(v_0) \Phi_0). \end{aligned} \quad (5)$$

Здесь суммирование идет по точным состояниям нечетного ядра  $\Phi_{\lambda}$ , энергии которых  $E_{\lambda}$  отсчитываются от энергии основного состояния четного ядра.

Произведем в (5) предельный переход  $t_3 \rightarrow \infty, t_4 \rightarrow -\infty$ , одновременно считая, что энергии всех промежуточных состояний (кроме  $\Phi_{\lambda_0}$ ) содержат отрицательную мнимую часть ( $E_{\lambda} \rightarrow E_{\lambda} - i\delta$ ). В результате такого перехода в сумме (5) останется лишь одно промежуточное состояние  $\Phi_{\lambda_0}$ :

$$\mathcal{L}_{v_0}(12; 34) \rightarrow \mathcal{L}_{v_0 \lambda_0}(12) = u_{\lambda_0}(v_0) u_{\lambda_0}^+(v_0) \exp[-iE_{\lambda_0}(t_3 - t_4)] \mathcal{G}_{\lambda_0}(1; 2). \quad (6)$$

Вернемся теперь к выражению (4) и рассмотрим совокупность графиков, дающих вклад в эту величину. Выделим из всей совокупности графиков один, в котором  $\Psi(v_0)$  и  $\Psi^+(v_0)$  не связаны с остальной частью. Соответствующий член в  $\mathcal{L}$  имеет вид

$$\begin{aligned} \mathcal{L}_{v_0}^0(12; 34) = -i \langle T \Psi(v_0, t_3) \Psi^+(v_0, t_4) \rangle & \langle T A(1) B(2) \rangle = \\ = iG(v_0, v_0; t_3 - t_4) \mathcal{G}(1; 2). \end{aligned} \quad (7)$$

Здесь  $G(v, v'; t)$  — однофермионная функция Грина четного ядра, а  $\mathcal{G}(1; 2)$  — функция Грина, аналогичная (1), но в отличие от последней относящаяся к четному ядру. В остальных графиках, определяющих  $\mathcal{L}_{v_0}$ , удобно явно выделить свободные фермионные концы, связанные с  $\Psi(v_0)$  и  $\Psi^+(v_0)$ , записав выражение для  $\mathcal{L}_{v_0}$  в виде

$$\mathcal{L}_{v_0}(12; 34) = \mathcal{L}^0_{v_0}(12; 34) - G(33')\Lambda(12; 3'4')G(4'4) \quad (8)$$

(квантовые числа в состояниях 3, 4 совпадают с  $v_0$ ).

Совершим в (8) ту же предельную операцию, что и в выражении (5). Аргументы  $t_3, t_4$  входят в (8) только через однофермионные функции Грина. Заметим, что при нашем предельном переходе

$$G(v_0, v; t) = -i \sum_{\lambda} (\Phi_0, \Psi(v_0)\Phi_{\lambda}) \exp(-iE_{\lambda}t) (\Phi_{\lambda}, \Psi^+(v)\Phi_0) \rightarrow \\ \rightarrow -iu_{\lambda_0}(v_0)u_{\lambda_0}^+(v) \exp(-iE_{\lambda_0}t)$$

и, следовательно, согласно (7) и (8)

$$\mathcal{L}_{v_0\lambda_0}(12) = u_{\lambda_0}(v_0)u_{\lambda_0}^+(v_0) \exp[-iE_{\lambda_0}(t_3 - t_4)] \times \\ \times \{\mathcal{G}(1; 2) + \exp[-iE_{\lambda_0}(t'_3 - t'_4)]u_{\lambda_0}^+(v_3')\Lambda(12; 3'4')u_{\lambda_0}(v_4')\}. \quad (9)$$

Здесь подразумевается суммирование по промежуточным аргументам  $3', 4'$ . Выполняя интегрирование по  $t_3', t_4'$ , мы приходим к компоненте Фурье  $\Lambda(12; v_3'E_{\lambda_0}, v_4'E_{\lambda_0})$ .

Из сравнения выражений (6) и (9) следует

$$\mathcal{G}_{\lambda_0}(1; 2) = \mathcal{G}(1; 2) + \sum_{vv'} u_{\lambda_0}^+(v)\Lambda(12; vE_{\lambda_0}, v'E_{\lambda_0})u_{\lambda_0}(v'). \quad (10)$$

Если перейти в (10) к компоненте Фурье по  $t_1 - t_2$ , то

$$\mathcal{G}_{\lambda_0}(12; \varepsilon) = \mathcal{G}(12; \varepsilon) + \sum_{vv'} u_{\lambda_0}^+(v)\Lambda(12, \varepsilon; vE_{\lambda_0}, v'E_{\lambda_0})u_{\lambda_0}(v'). \quad (10')$$

Здесь  $\varepsilon$  имеет смысл энергии, а 1,2 — остальные квантовые числа входящего и выходящего концов пропагатора  $\mathcal{G}$ .

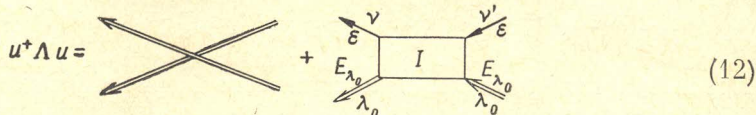
Формулы (10), (10') выражают функцию Грина нечетного ядра через величины, вычисляемые в четном ядре, т. е. в принципе решают поставленную задачу. Ниже мы рассмотрим ряд практически важных частных случаев.

### Однофермионная функция Грина

Имеем

$$\mathcal{G}_{\lambda_0} \rightarrow G_{\lambda_0}^{\alpha\beta}(1; 2) = -i\langle T\Psi_{\alpha}(1)\Psi_{\beta}^+(2) \rangle_{\lambda_0}. \quad (11)$$

В этом случае величину  $\Lambda$  можно графически представить в виде



Здесь первый член является обменным и не зависит от взаимодействия; во втором члене свободные фермионные линии связаны эффективным взаимодействием (приводимым четырехполюсником  $I(12; 34)$ ). Двойным линиям в (12) отвечают множители  $u_{\lambda_0}, u_{\lambda_0}^+$ .

Выражение (10') принимает вид

$$G_{\lambda_0}(vv'; \varepsilon) = G(vv'; \varepsilon) + 2\pi i \delta(\varepsilon - E_{\lambda_0})u_{\lambda_0}(v)u_{\lambda_0}^+(v') + \\ + \sum_{v_0v_0'v_1v_1'} G(vv_1; \varepsilon)u_{\lambda_0}^+(v_0)I(v_1\varepsilon, v_1'\varepsilon; v_0E_{\lambda_0}, v_0'E_{\lambda_0})u_{\lambda_0}(v')G(v_1'v'; \varepsilon). \quad (13)$$

Первый член в правой части (13) — функция Грина четного ядра. Нетрудно убедиться, что ее разложение Лемана имеет вид

$$G(vv'; \epsilon) = \sum_{\lambda} \left\{ \frac{u_{\lambda}(v) u_{\lambda}^+(v')}{\epsilon - E_{\lambda} + i\delta} + \frac{\sigma^x u_{\lambda}(v') u_{\lambda}^+(v') \sigma^x}{\epsilon + E_{\lambda} - i\delta} \right\}. \quad (13')$$

При получении (13') использованы свойства временной инверсии

$$T|v\rangle = \langle \tilde{v}|, \quad T|\tilde{v}\rangle = -|v|,$$

откуда следует, например,  $\langle \Phi_{\lambda_0} a_v \Phi_0 \rangle = \langle \Phi_0, a_v^+ \Phi_{\lambda_0} \rangle$ .

Второй член в (13) описывает обменное воздействие нечетного нуклона. Как видно из (13'), оно сводится к изменению знака мнимой части в полюсе  $\epsilon = E_{\lambda_0}$ . Этот полюс соответствует нечетной частице в состоянии  $\lambda = \lambda_0$  (матричная компонента  $G^{11}$ ) или нечетной дырке в состоянии  $\lambda = \tilde{\lambda}_0$  (компонента  $G^{22}$ ). Для случая, когда состояние  $\Phi_{\lambda_0}$  является чисто одночастичным, этот результат был получен ранее [1, 2]. В случае одновременного воздействия нечетного нуклона с коллективными возбуждениями одноклонное состояние «размешивается» по многим состояниям (с различным средним числом фононов). Знак мнимой части меняется лишь в одном из этих состояний.

Изменение матрицы плотности при переходе от четного ядра к нечетному определяется в основном последним членом в (13). Матрица плотности связана с интегралом от одночастичной функции Грина. Для матричной функции (11) имеем

$$\int \frac{d\epsilon}{2\pi i} G_{\lambda_0}(vv'; \epsilon) = \begin{pmatrix} \langle a_v^+ a_v \rangle_{\lambda_0} & -i \langle a_{\tilde{v}}^+ a_v \rangle_{\lambda_0} \\ i \langle a_v^+ a_{\tilde{v}}^+ \rangle_{\lambda_0} & \langle a_{\tilde{v}}^+ a_{\tilde{v}}^+ \rangle_{\lambda_0} \end{pmatrix} \quad (14)$$

(интеграл замыкается в верхней полуплоскости).

### Средние значения одночастичных операторов

Произвольный одночастичный оператор  $Q$  в принятом «спинорном» представлении (2) записывается (в зависимости от его временной четности) как

$$Q = \sum_{vv'} \langle v | Q | v' \rangle \{ \Psi^+(v) \sigma^{(\pm)} \Psi(v') \pm \delta_{vv'} \}, \quad (15)$$

где в случае  $T$ -четной величины  $Q$  оператор  $\sigma^{(+)}$  совпадает с матрицей Паули  $\sigma^z$ , а в случае  $T$ -нечетной  $\sigma^{(-)} \rightarrow 1$  (подробнее см. в [3]).

Среднее значение оператора (15) в состоянии  $\Phi_{\lambda_0}$  нечетного ядра выражается через соответствующую функцию Грина:

$$\langle Q \rangle_{\lambda_0} = \sum_{vv'} \langle v' | Q | v \rangle \left\{ \text{Sp} \left[ \sigma^{(\pm)} \int \frac{d\epsilon}{2\pi i} G_{\lambda_0}(vv'; \epsilon) \right] \pm \delta_{vv'} \right\}. \quad (15')$$

Используя для функции Грина четного ядра выражение, аналогичное (14), можно явно вычислить вклад  $\langle Q \rangle_{\lambda_0}^{(0)}$  в (15') от первых двух членов в (13), не содержащих взаимодействия:

$$\langle Q \rangle_{\lambda_0}^{(0)} = \langle Q \rangle + \sum_{vv'} \langle v | Q | v' \rangle (u_{\lambda_0}^+(v) \sigma^{(\pm)} u_{\lambda_0}(v')), \quad (16)$$

где среднее значение  $Q$  в четном ядре определяется из

$$\langle Q \rangle = \sum_v \langle v | Q | v \rangle [\langle a_v^+ a_v \rangle \pm \langle a_{\tilde{v}}^+ a_{\tilde{v}}^+ \rangle \pm 1]. \quad (17)$$

Если в четном ядре заполнение сопряженных состояний  $(v, \tilde{v})$  одинаково, что, во всяком случае, справедливо для основных состояний, то для

$T$ -нечетных величин среднее значение  $Q$  равно нулю. Второй член в (16) в случае отсутствия другого взаимодействия, кроме спаривания, дает вклад в среднее значение  $Q$  нечетного нуклона в состоянии  $\Phi_{\lambda_0}$ . В этом случае состояния нечетного ядра являются строго одночастичными, так что

$$u_{\lambda_0}^+(v) \sigma^{(\pm)} u_{\lambda_0}(v) = \delta_{\lambda_0 v} \begin{cases} u_v^2 - v_v^2 \\ u_v^2 + v_v^2 = 1 \end{cases}.$$

В общем случае среднее значение произвольного одночастичного оператора определяется выражением

$$\langle Q \rangle_{\lambda_0} = \langle Q \rangle_{\lambda_0}^{(0)} + \sum_{\substack{1234 \\ v_0 v_0'}} \langle 1 | Q | 3 \rangle \text{Sp} \left[ \int \frac{d\varepsilon}{2\pi i} G(21; \varepsilon) \sigma^{(\pm)} \times \right. \\ \left. \times G(34; \varepsilon) I(4\varepsilon, 2\varepsilon; v_0 E_{\lambda_0}, v_0' E_{\lambda_0}) u_{\lambda_0}(v_0') u_{\lambda_0}^+(v_0) \right]. \quad (18)$$

Естественно, что для сохраняющейся величины последний член в (18) должен обращаться в нуль.

### Функция Грина колективного возбуждения (фонона)

Предположим, что в четном ядре для описания коллективных возбуждений могут быть введены бозевские операторы рождения и уничтожения  $\mathfrak{A}^+$ ,  $\mathfrak{A}$ .

В наиболее интересном случае сферических ядер фононы могут характеризоваться моментом  $k$  и его проекцией  $\mu$ . Определяя оператор

$$\mathfrak{A}_{k\mu}^{(+)} = \mathfrak{A}_{k\mu} + (-1)^{k-\mu} \mathfrak{A}_{k-\mu}^+,$$

введем фононный пропагатор для четного ядра:

$$D_k(t, t') = -i \langle T \mathfrak{A}_{k\mu}^{(+)}(t) \mathfrak{A}_{k\mu}^{(+)*}(t') \rangle. \quad (19)$$

Величина  $\Lambda$  в (10), (10') в этом случае содержит только член со взаимодействием фонона с нечетным нуклоном, так что выражение для фононной функции Грина нечетного ядра принимает вид

$$D_{k, \mu\mu'}^{\lambda_0\lambda_0'}(\omega) = \delta_{\lambda_0\lambda_0'} \delta_{\mu\mu'} D_k(\omega) + \sum_J (2J+1) \binom{J \ J_{\lambda_0} \ k}{M \ M_{\lambda_0} \ \mu} \binom{J \ J_{\lambda_0} \ k}{M \ M_{\lambda_0'} \ \mu'} D_k(\omega) \times \\ + \sum_{v_0 v_0'} u_{\lambda_0}^+(v_0) I_J(\omega; v_0 E_{\lambda_0}; v_0' E_{\lambda_0}) u_{\lambda_0}(v') D_k(\omega). \quad (20)$$

Здесь для простоты предположено, что существует только один тип фононов. Четырехполюсник  $I_J$ , определяющий взаимодействие фонона и нечетного нуклона в состоянии с их полным моментом  $J$ , не зависит от проекций моментов. Зависимость от проекций всех моментов явно выделена для общего случая, когда начальное и конечное состояния нечетного ядра  $\Phi_{\lambda_0}$  и  $\Phi_{\lambda_0'}$  могут иметь различные проекции момента.

### Двухчастичная функция Грина

Ограничимся рассмотрением практически интересного случая двухвременной функции, когда  $A$  и  $B$  в выражении (1) являются одночастичными операторами типа (15) (без постоянного члена), причем  $B = A^+$ .

Соответствующую величину  $\Lambda$  (10) графически можно изобразить в виде

$$\begin{aligned}
 u^+ \Lambda u = & \quad a + b + \\
 & + c + d + e + \\
 & + f
 \end{aligned} \tag{21}$$

Здесь каждой вершине с пунктирной линией соответствует матрица  $\langle v | Q | v' \rangle \sigma^{(\pm)}$ . Графики *a* и *b* описывают влияние нечетного нуклона вследствие принципа Паули, остальные — его динамическое воздействие. Полная передаваемая энергия обозначена через  $\omega$ . Графическое представление (21) удобно при вычислении вероятностей переходов.

### Вероятности переходов в нечетных ядрах

Пусть на систему наложено возмущение

$$H_I = \hat{Q} = \sum_{vv'} \langle v | Q | v' \rangle \Psi^+(v) \sigma^{(\pm)} \Psi(v'). \tag{22}$$

Вероятность перехода под действием возмущения (22) с частотой  $\omega$  из состояния  $\Phi_\lambda$  в состояние  $\Phi_{\lambda_0}$  дается выражением

$$W_{\lambda \rightarrow \lambda_0} = \frac{2\pi}{2J_\lambda + 1} \sum_{M_\lambda M_{\lambda_0}} |(\Phi_{\lambda_0}, Q\Phi_\lambda)|^2 \delta(E_\lambda - E_{\lambda_0} - \omega). \tag{23}$$

Если определить двухчастичную функцию

$$\mathcal{G}_{\lambda_0}(t_1 - t_2) = -i \langle TQ(t_1)Q(t_2) \rangle_{\lambda_0}, \tag{24}$$

то из разложения Лемана для ее Фурье-образа

$$\mathcal{G}_{\lambda_0}(\omega) = \sum_\lambda |(\Phi_{\lambda_0}, Q\Phi_\lambda)|^2 \left\{ \frac{1}{\omega - (E_\lambda - E_{\lambda_0}) + i\delta} - \frac{1}{\omega + (E_\lambda - E_{\lambda_0}) - i\delta} \right\}$$

следует для мнимой части (при  $\omega > 0$ ) равенство

$$\text{Im } \mathcal{G}_{\lambda_0}(\omega) = -\pi \sum_\lambda |(\Phi_{\lambda_0}, Q\Phi_\lambda)|^2 \delta(E_\lambda - E_{\lambda_0} - \omega). \tag{26}$$

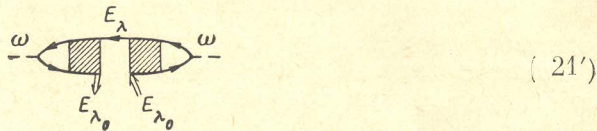
Из (23) и (26) имеем известное соотношение

$$W_{\lambda \rightarrow \lambda_0} = -\frac{2}{2J_\lambda + 1} \sum_{M_\lambda M_{\lambda_0}} \text{Im } \mathcal{G}_{\lambda_0}(\omega). \tag{27}$$

Рассмотрим теперь случай, когда начальное состояние  $\Phi_\lambda$  определяется полюсом точной одночастичной функции Грина<sup>1)</sup>. К состояниям этого

<sup>1)</sup> Это означает, что состояние  $\Phi_\lambda$  имеет ту же природу, что и  $\Phi_{\lambda_0}$ , т. е. существует  $v$ , для которого  $u_\lambda^+(v) \neq 0$ .

типа относятся практически все низколежащие возбужденные состояния нечетного ядра (ниже порога разрыва куперовской пары  $2E$ ). Выделим явно графики в  $u^+Li$ , имеющие интересующие нас полюсные члены (одна нуклонная линия с энергией  $\varepsilon = E_\lambda = E_{\lambda_0} + \omega$ ). К ним относятся графики  $b, \partial, e$  в (21). Что касается графика  $j$ , то из него также можно выделить полюсной член



Тогда все четыре графика  $b, \partial, e, j$  можно записать в виде (21'), если в заптрихованный квадрат включить и член без взаимодействия.

Обозначим

$$i\langle T\Psi(1)\Psi^+(2)Q(3)\rangle = G(1; 1')\mathcal{T}_Q(1'; 3; 2')G(2'; 2) \quad (28)$$

(здесь  $\mathcal{T}_Q(1'; 3; 2')$  — точная вершина взаимодействия с внешним полем). Тогда совокупность указанных выше полюсных графиков в  $u^+Li$  определяется выражением

$$\begin{aligned} u_{\lambda_0}^+(v_0)\mathcal{T}_Q(v_0E_{\lambda_0}; \omega; vE_{\lambda_0} + \omega)G(vv'; E_{\lambda_0} + \omega) \times \\ \times \bar{\mathcal{T}}_Q(v'E_{\lambda_0} + \omega; \omega; v_0'E_{\lambda_0})u_{\lambda_0}(v_0'). \end{aligned} \quad (29)$$

Мнимальная часть, пропорциональная  $\delta(E_\lambda - E_{\lambda_0} - \omega)$ , содержится в (29) только в одночастичной функции Грина  $G(vv'; E_{\lambda_0} + \omega)$  и согласно (13') равна

$$\text{Im } G(vv'; E_{\lambda_0} + \omega) = -\pi\delta(\omega + E_{\lambda_0} - E_\lambda)u_\lambda(v)u_{\lambda}^+(v'). \quad (30)$$

Используя (27), (29) и (30), окончательно получаем для приведенной вероятности перехода

$$W_{\lambda \rightarrow \lambda_0} = \frac{1}{2J_\lambda + 1} \sum_{M_\lambda M_{\lambda_0}} \left| \sum_{v, v'} u_{\lambda_0}^+(v_0) \mathcal{T}_Q(v_0E_{\lambda_0}; E_\lambda - E_{\lambda_0}; vE_\lambda) u_\lambda(v) \right|^2. \quad (31)$$

Выражение (31) определяет вероятность как электромагнитных, так и  $\beta$ -переходов в нечетных ядрах. В последнем случае  $\lambda, \lambda_0$  включают также изотопический индекс <sup>2)</sup>.

### Вероятность коллективного перехода

Рассмотрим важный частный случай, когда в ядре существует коллективное возбуждение с той же симметрией, что и воздействующее внешнее поле (например,  $E2$ -переходы при наличии квадрупольных фононов). Тогда в  $\mathcal{T}_Q$  можно выделить полюсной член, соответствующий коллективному возбуждению:

$$\mathcal{T} = \text{---} \text{---} = \text{---} \text{---} + \text{---} \text{---} = \tilde{\mathcal{T}} + QGRGDG \quad (32)$$

Здесь волнистой линией обозначен пропагатор фонона (19), треугольником — точная вершинная часть фонон-нуклонного взаимодействия ( $\Gamma$ ), а заптрихованным кружком  $\tilde{\mathcal{T}}$  обозначены остальные части  $\mathcal{T}$  (не содержащие фононного полюсного члена).

<sup>2)</sup> Формула (31) по виду похожа на выражение для вероятности перехода в четном ядре из основного состояния в двухквазичастичное ( $\omega = E_{\lambda_0} + E_\lambda$ ). Заметим, однако, что в этом случае из  $\mathcal{T}_Q$  выбрасывается промежуточное полюсное состояние.

Явное аналитическое выражение для коллективного члена имеет вид

$$\sum_{1234} \langle 1 | Q | 2 \rangle \operatorname{Sp} \left[ \int \frac{d\epsilon}{2\pi i} G(31; \epsilon - \omega) \sigma^{(\pm)} G(24; \epsilon) \Gamma(4\epsilon, 3\epsilon - \omega) \right] \times \\ \times D(\omega) \sum_{v_0 v} u_{\lambda_0}^+(v_0) \Gamma(v_0 E_{\lambda_0}, v E_\lambda) u_\lambda(v). \quad (33)$$

Заметим, что сумма по 1234 (множитель перед  $D(\omega)$ ) имеет смысл эффективного заряда фонона  $e_Q(\omega)$ . Если коллективный член дает основной вклад в вероятность, то в этом случае из (31) получаем

$$W_{\lambda \rightarrow \lambda_0} = \frac{e_Q^2}{2J_\lambda + 1} \sum_{M_\lambda M_{\lambda_0}} \left| \sum_{v_0 v} u_{\lambda_0}^+(v_0) \Gamma(v_0 E_{\lambda_0}, v E_\lambda) u_\lambda(v) D(E_\lambda - E_{\lambda_0}) \right|^2. \quad (34)$$

Таким образом, в этом случае вероятность определяется величиной propagatora фонона и фонон-нуклонной вершинной части при физических значениях аргументов. Заметим, что, когда разность  $E_\lambda - E_{\lambda_0}$  оказывается близкой к собственной частоте фонона или даже совпадает с ней, особенности в (34) все же не возникает, так как при этом вершинная часть  $\Gamma$  стремится к нулю. Практическое вычисление вероятностей в этом случае требует строго согласованного определения  $\Gamma$ ,  $D$  и энергий переходов. Подобный случай более подробно рассматривается в работе авторов [5].

#### Литература

- [1] Ю. Т. Гринь, С. И. Дроzdov, Д. Ф. Зарецкий. ЖЭТФ, 38, 222, 1960.
- [2] А. Б. Мигдал. ЖЭТФ, 40, 684, 1961.
- [3] С. Т. Беляев. ЯФ, 1, 3, 1965.
- [4] С. Т. Беляев, В. Г. Зелевинский. ЯФ, 1, 13, 1965.
- [5] С. Т. Беляев, В. Г. Зелевинский. ЯФ, 2, 4, 1965.

---

#### GREEN FUNCTIONS AND TRANSITION PROBABILITIES IN ODD NUCLEI

S. T. BELYAEV, V. G. ZELEVINSKY

Expressions are obtained for various Green functions of odd nuclei, both for single-particle and collective excitations. Transition probabilities and mean values of physical quantities are derived for arbitrary low-lying states in odd nuclei.